

## Magnetic Resonance image segmentation by modified spatial FCM based on Gaussian function (Research Note)

A.Biniaz<sup>1,2</sup>, A. Abbas<sup>3</sup>, M. Shamsi\*<sup>3</sup>

<sup>1</sup>M.Sc Student, Faculty of Biomedical Engineering, Bio Electrical Group,Sahand University,Tabriz,Iran

<sup>2</sup> Faculty of Electronic Engineering,Islamic Azad University of Lamard, Fars ,Iran

<sup>3</sup>Assistant Professor, Faculty of Biomedical Engineering, Bio Electrical Group,Sahand University,Tabriz,Iran

shamsi@sut.ac.ir

---

### Abstract

Segmentation divides an image to some subdivisions where which of ones has similar intensity gray levels. Among clustering methods fuzzy c-means (FCM) clustering has been frequently used for segmentation of medical images. However, this algorithm doesn't incorporate spatial neighborhood information in segmentation. This approach is very susceptible to nuisance factors. Therefore this paper proposes a Gaussian spatial FCM (gsFCM) to MR image segmentation. Proposed method has less sensitivity to noise specially in tissue boundaries, angles, and borders than spatial FCM (sFCM). Furthermore by the suggested algorithm a pixel which is a separate tissue from structurally point of view for example a tumor in primary stages of its appearance, has more chance to be a unique cluster. Applying quantitative assessments using Jaccard similarity index, Dice coefficient, and other validation functions on FCM,sFCM and gsFCM approaches show efficient performance of the proposed method. In this research the ISBR data bank is used for simulations.Moreover in medical applications getting patient condition and information with fast methods is very important especially in emergency circumstances. Therefore all effective agents in patient health must be fast even medical algorithms such as clustering ones . Hence in this paper to decrease the time of convergence considerably and decline the number of iterations significantly, cluster centroids are initialized by an algorithm.

**Keywords:** component, Segmentation, MR brain image, FCM, spatial information filtering, initial cluster centriods,Gaussian membership function.

---

\* Corresponding author

Address: Mousa Shamsi, Faculty of Biomedical Engineering, Bio Electrical Group,Sahand University,Tabriz,Iran

Tel: +98 412 3459332

Fax: +98 412 3459332

E-mail: shamsi@sut.ac.ir

## ناحیه‌بندی تصاویر MR مغز با استفاده از FCM بهبود یافته‌ی مکانی به کمک تابع گوسی : gsFCM (یادداشت فنی)

عباس بی‌نیاز<sup>۱\*</sup>، عطالله عباسی<sup>۲</sup>، موسی شمسی<sup>۳</sup>

<sup>۱</sup>کارشناس ارشد مهندسی پزشکی، بیوالکتریک، دانشگاه صنعتی سهند، تبریز، ایران

<sup>۲</sup>دانشکده‌ی مهندسی برق، دانشگاه آزاد اسلامی واحد لامرد، فارس، ایران

<sup>۳</sup>آزمایشگاه علوم اعصاب محاسباتی، گروه مهندسی پزشکی، دانشگاه صنعتی سهند

<sup>۳</sup>استادیار مهندسی پزشکی، بیوالکتریک، دانشگاه صنعتی سهند، تبریز، ایران

shamsi@sut.ac.ir

### چکیده

بخش‌بندی تصویر را به بخش‌های مجزا تقسیم می‌کند که هر کدام از این بخش‌ها دارای سطوح روش‌ناییکنواختی هستند. از بین روش‌های موجود روش خوش بندی‌فازی FCM (fuzzy c-means clustering) دارای کاربرد وسیعی در ناحیه‌بندی تصاویر پزشکی است. عدم ادغام ویژگی‌های مکانی در FCM استاندارد، از معایب این روش در ناحیه‌بندی تصاویر تشیدید مغناطیسی Magnetic MRI (Resonance Imaging) مغز انسان است؛ در این مقاله از روشی جدید برای بخش‌بندی و حذف نویز تصاویر MR با اعمال فیلتر مکانی گوسی در تابع عضویت فازی استفاده شده است. فیلتر مکانی مذکور، اثرات نویز در مرز بافت‌ها و زوایای تصویر را بصور تبیه‌نای مدیریت می‌کند؛ علاوه بر این پیکسلی که به لحاظ آناتومیکیک بافت مجزا است مانند تومور در مراحل اولیه‌ی رشد، شناس بیشتری را ایجاد خواهد دارد. در پایان آزمایشات که بر روی پایگاه داده ISBR انجام شده است کیفیت روش پیشنهادی توسط توابع اعتبارسنجی‌مدالوں مانند شاخص جاکارد و ضریب دایس مورد ارزیابی قرار گرفته است. از طرف دیگر در کاربردهای پزشکی به خصوص در شرایط اورژانسی، ضرورت سرعت عمل تمام عوامل پزشکی امری اجتناب ناپذیر است و الگوریتم ناحیه‌بندی از این قاعده مستثنی نیست، لذا برای دستیابی به این مهم توسط الگوریتمی مرکز نقل اولیه‌ی خوش‌ها، مشخص می‌شود که زمان هم-گرایی تابع هزینه در FCM بهبود یافته‌ی مکانی گوسی، نسبت به FCM استاندارد تا حد قابل قبولی کاهش می‌یابد.

کلیدواژگان: اپیزودهای افت فشار خون حاد، پیش‌آگهی، ویژگی‌های فیزیولوژیکی، ویژگی‌های آشوبناک، انتخاب ویژگی، الگوریتم ژنتیک

\*عهده‌دار مکاتبات

نشانی: تبریز، دانشگاه سهند تبریز، دانشکده بیو الکتریک

تلفن: ۰۴۱۲۳۴۵۹۳۳۲، دورنگار: ۰۴۱۲۳۴۵۹۳۳۲، پیام نگار: shamsi@sut.ac.ir

های موجود در همسایگی آن پیکسل و با استفاده از روش‌های آمار و احتمال محاسبه می‌شود. استفاده از روش‌های فازی بصورت ترکیبی با سایر الگوریتم‌های هوشمند همانند الگوریتم ژنتیک برای ادغام اطلاعات مکانی نیز در ناحیه‌بندی مفید است؛ استفاده از روش ترکیبی فازی و الگوریتم ژنتیک‌بندت بار محاسباتی الگوریتم رالفراش می‌دهد [۹].

در مقاله‌ی حاضر به یکی از شیوه‌های ناحیه‌بندی تصاویر بر مبنای خوشبندی فازی با استفاده از اطلاعات مکانیا (spatial FCM) sFCM اشاره می‌شود و نقاط ضعف روش اصلاح خواهد شد. الگوریتم sFCM نویز را با استفاده از عضویت مکانی پیکسل‌های همسایه، بهصورت قابل ملاحظه‌ای کاهش می‌دهد؛ اما دارای معایب و نقایصی به خصوص در ناحیه‌بندی مرز بافت‌ها و زوایای تصویر است که با استفاده از الگوریتم پیشنهادی (gsFCM(gaussian spatial FCM)) مدیریت بیشتری روی مرزها و بافت‌های کوچک تصویر انجام خواهد شد.

این مقاله در بخش ۱-۲ تابع خوشبندی فازی را معرفی می‌کند. در بخش ۲-۲ الگوریتم FCM استاندارد به کمک تابع مکانی بهبود می‌یابد و تابع sFCM معرفی خواهد شد. برای انجام ناحیه‌بندی بهینه در مرزها، زوایا و بافت‌های کوچک تصویر در بخش ۳-۲ الگوریتم gsFCM پیشنهاد می‌شود. بخش ۳-۱-۳ روش‌های اعتبارسنجی متداول را معرفی می‌کند. و بخش ۲-۳ نتایج شبیه‌سازی را تحلیل و ارزیابی می‌کند.

## ۲-ناحیه‌بندی تصاویر MR مغز

### ۲-۱-خوشبندی فازی FCM

خوشبندی به معنی تعیین گروه هایی است که در یک مجموعه داده‌ی دسته‌بندی نشده قرار دارند. [۱۰] در

### ۱-مقدمه

هدف اصلی ناحیه‌بندی تقسیم بندی یک تصویر به بخش‌هایی است که پیکسل‌های هر ناحیه در ویژگی‌ها و خصوصیاتشان بیشترین تشابه را داشته باشند؛ که این همان مفهوم خوشبندی است، حال اگر به خوشبندی موجود برچسب زده شود عمل طبقه‌بندی انجام شده است [۱].

در دهه‌های گذشته، روش‌های زیادی برای ناحیه‌بندی تصاویر MR مغز انسان انجام شده است. با استفاده از روش‌های آستانه‌گیری مرز بافت‌ها در محل دره جدا می‌شود؛ همچنین می‌توان چندین سطح آستانه برای ناحیه‌بندی انتخاب کرد [۲]. در روش رشد ناحیه نواحی بهم پیوسته مربوط به یک بافت مغز مانند تومور توسط معیاری از قبل تعریف شده، مثلاً اطلاعات روشناییا لبه‌ها و... استخراج می‌شود [۳]؛ یکی از روش‌های Markov Random MRF (Field) است که از روابط آماری برای ناحیه‌بندی تصاویر پزشکی استفاده می‌کند. این روش در نمایش ویژگی‌ها، شباهت زیادی به شبکه بیز (Bayesian network) دارد [۴،۵]. روش‌های دیگری مانند ناحیه‌بندی به کمک روش‌های فازی به ویژه روش خوشبندی فازی (FCM) به طور گسترده‌ای در ناحیه‌بندی تصاویر مورد استفاده قرار گرفته‌اند [۶،۷]. دلیل اصلی این استفاده یوسیع، تعریف‌فازی بودن برای تعلق هر پیکسل از تصویر به چند خوشبندی است. علاوه بر این ادغام ویژگی‌های مکانی تصویر در ناحیه‌بندی تأثیر زیادی بر روی کیفیت ناحیه‌بندی دارد. اعمال اطلاعات مکانی با استفاده از ویژگی‌های آماری پیکسل‌های همسایه در [۸] بررسی شده است. در این تحقیق برای هر کدام از پیکسل‌های همسایه یک تابع موثر در نظر گرفته شده است که به نوعی تابع هیستوگرام پیکسل‌های همسایه محاسبه می‌شود. روش ارایه شده در [۸] بگونه‌ای است که تابع عضویت فازی هر پیکسل را با توجه به تابع عضویت همان پیکسل و تمام پیکسل-

### FCM-۳-۲ مکانی گوسی

در این بخش تابع مکانی گوسی برای مدیریت بهتر مرزها، زوایا و ارگانیسم‌های کوچک‌تر مانند تومور در مراحل اولیه‌ی پیدایش، به صورت رابطه‌ی (۵) پیشنهاد می‌شود:

$$h_{ij} = \sum_{k \in N(x_j)} \sum_{l \in N(x_j)} \frac{1}{2\pi\sigma^2} e^{-\frac{k^2+l^2}{2\sigma^2}} u_{kl} \quad (5)$$

$N_{(x_j)}$  در حقیقت یک همسایگی به شعاع  $r$  و مرکزیت پیکسل  $j$  ( $k=0$  و  $l=0$ ) است.  $u_{kl}$  عضویت فازی هر کدام از پیکسل‌های پنجره‌ی مربعی  $5 \times 5$  را نشان می‌دهد اما تابع مکانی  $h_{ij}$  متوسط وزن‌دارشده عضویت‌های فازی در پنجره‌ای با محدودی همسایگی  $N_{(x_j)}$  را نمایش می‌دهد و  $<2\sigma> = 0.5$ . در کام بعد تابع مکانی و تابع عضویت در رابطه‌ی زیر ادغام شده و تابع عضویت جدید ایجاد می‌شود:

$$w_{ij} = \frac{u_{ij}^p \times h_{ij}^q}{\sum_{k \in N(x_j)} u_{kj}^p \times h_{kj}^q} \quad (6)$$

$p$  و  $q$  پارامترهایی‌اند که تاثیر دو تابع مکانی و تابع عضویت را کنترل می‌کنند. تابع مکانی  $h_{ij}$  تابع عضویت اصلی را تقویت یا تضعیف می‌کند. تابع FCM مکانی (گوسی) با پارامترهای  $p$  و  $q$  بصورت  $sFCM_{p,q}$  و  $gsFCM_{p,q}$  نشان داده می‌شوند. مراحل شبیه‌سازی روش ارائه شده به این صورت است:

- ۱- تعیین تعداد خوشه‌ها (C)، درجه‌ی عضویت فازی (m=۲) و اختصاص مقادیر اولیه‌ی کم به تابع عضویت فازی اولیه و مقادیر تصادفی کوچک به مراکز خوشه‌ها.
- ۲- بروزرسانی مرکز نقل خوشه‌ها توسط رابطه‌ی ۲.
- ۳- بروزرسانی عضویت فازی توسط رابطه‌ی ۳.
- ۴- محاسبه‌ی تابع عضویت فازی جدید توسط رابطه‌ی ۶.
- ۵- در صورت ارضای شرط خاتمه  $\epsilon < \epsilon^{(t+1)} - \epsilon^{(t)}$  تصویر ناحیه‌بندی شود و گرنه برگشت به مرحله‌ی ۲.

روش فازی، هر یک از داده‌ها می‌تواند به چند خوشه با مقادیر عضویت متفاوت تعلق داشته باشد. مقدار عضویت هر داده در هر خوشه، نشانگر شباهت داده به خوشه است. اگر بردار داده‌های ورودی به صورت  $X = \{x_1, x_2, \dots, x_n\}$  نشان داده شود. در این صورت تابع هزینه‌ی زیر باید توسط FCM کمینه شود [۱۱، ۱۲]:

$$J = \sum_{i=1}^n \sum_{j=1}^m w_{ij} \|x_i - v_j\|^2 \quad (1)$$

که در آن،  $w_{ij}$  میزان عضویت فازی داده  $x_j$  در خوشه‌ی  $i$  ام،  $v_j$  مرکز خوشه  $i$  ام،  $\| \cdot \|$  نرم اندازه‌ی بردار،  $n$  تعداد پیکسل‌ها و  $m$  درجه‌ی عضویت فازی و برابر ۲ است. مقدار تابع عضویت  $J$  نشانگر احتمال تعلق هر پیکسل به یک خوشه است. توابع عضویت و مراکز خوشه‌ها در هر تکرار به وسیله‌ی روابط زیر بروزرسانی می‌شوند:

### FCM-۲-۲ مکانی

در تصاویر MR مغز انسان پیکسل‌های همسایه دارای شباهت زیادی در روشنایی هستند، در واقع احتمال این که پیکسل‌های همسایه متعلق به یک بافت یا خوشه باشند بیشتر است. استفاده از اطلاعات مکانی تصویر دارای اهمیت زیادی است که در FCM استاندارد مورد استفاده قرار نمی‌گیرد. برای استفاده از اطلاعات مکانی، تابع مکانی بصورت زیر تعریف می‌شود [۱]:

$$h_{ij} = \sum_{k \in N(x_j)} w_{ik} \quad (4)$$

$N_{(x_j)}$  در حقیقت یک همسایگی به شعاع  $r$  و مرکزیت پیکسل  $j$  است. مقدار  $r$  برابر ۲ است. بنابراین در این آزمایش از یک ماسک  $5 \times 5$  استفاده می‌شود [۱]. تابع مکانی  $z_j$  نیز احتمال تعلق پیکسل  $j$  به کلاستر  $i$  ام را نشان می‌دهد.

گام چهارم: ماکریم فاصله در هر گروه انتخاب شود. اگر گروه  $i$  ام دارای ماکریم فاصله‌ی  $d_{ij}$  باشد آنگاه مرکز ثقل اولیه‌یکلاستر  $i$  ام عبارتست از  $M_i$  که متوسط  $X_k$  و  $Z_j$  است.

مراحل شبیه‌سازی در مقاله‌ی حاضر به این صورت است:

۱- تعیین تعداد خوش‌ها ( $C$ )، درجه‌ی عضویت فازی ( $m=2$ ) و اختصاص مقادیر اولیه‌ی کم به ماتریس عضویت فازی.

۲- محاسبه‌ی مرکز ثقل اولیه‌ی خوش‌ها توسط الگوریتم dist-max.

۳- بروزرسانی مرکز ثقل هر خوش‌به بکمک رابطه‌ی  $\alpha$ .

۴- بروزرسانی تابع عضویت فازی توسط رابطه‌ی  $\beta$ .

۵- محاسبه‌ی تابع عضویت جدید توسط رابطه‌ی  $\gamma$ .

۶- در صورت ارضای شرط خاتمه  $\epsilon < \delta$  تصویر ناحیه‌بندی شود و گرن به مرحله‌ی  $3$  برگرد.

گام چهارم: ماکریم فاصله در هر گروه انتخاب شود. اگر گروه  $i$  ام دارای ماکریم فاصله‌ی  $d_{ij}$  باشد آنگاه مرکز ثقل اولیه‌یکلاستر  $i$  ام عبارتست از  $M_i$  که متوسط  $X_k$  و  $Z_j$  است.

مراحل شبیه‌سازی در مقاله‌ی حاضر به این صورت است:

۱- تعیین تعداد خوش‌ها ( $C$ )، درجه‌ی عضویت فازی ( $m=2$ ) و اختصاص مقادیر اولیه‌ی کم به ماتریس عضویت فازی.

۲- محاسبه‌ی مرکز ثقل اولیه‌ی خوش‌ها توسط الگوریتم dist-max.

۳- بروزرسانی مرکز ثقل هر خوش‌به بکمک رابطه‌ی  $\alpha$ .

۴- بروزرسانی تابع عضویت فازی توسط رابطه‌ی  $\beta$ .

۵- محاسبه‌ی تابع عضویت جدید توسط رابطه‌ی  $\gamma$ .

۶- در صورت ارضای شرط خاتمه  $\epsilon < \delta$  تصویر ناحیه‌بندی شود و گرن به مرحله‌ی  $3$  برگرد.

#### ۴-۲- محاسبه‌ی مرکز ثقل اولیه‌ی خوش‌ها

برای کاهش زمان انجام خوش‌بندی فازی، مرکز ثقل اولیه خوش‌ها توسط الگوریتم dist-max محاسبه می‌شود؛ بنابراین سرعت همگرایی خوش‌بندی افزایش می‌یابد [۱۳]. برای خوش‌بندی توسط روش sFCM ابتدا مرکز ثقل اولیه برای هر خوش به بکمک الگوریتم dist-max بدست می‌آید و در مرحله بعد با بهبود بخشیدن تابع FCM استاندارد بکمک ویژگی‌های مکانی، ناحیه‌بندی انجام می‌گیرد. مرکز ثقل اولیه برای dist-max تعیین مرکز ثقل اولیه هر خوش در روش FCM بصورت زیر آمده است:

گام اول: با فرض این که  $X$  یک داده‌ی  $p$  بعدی باشد که بصورت  $\{x_1, x_2, \dots, x_n\}$  تعریف شود؛ آنگاه  $m_k$  ها بصورت صعودی مرتب شود و مقادیر  $k$  با تعداد داده‌های بردار ورودی متناظر است:

$$m_k = \frac{1}{n} \sum_{k=1}^n x_k$$

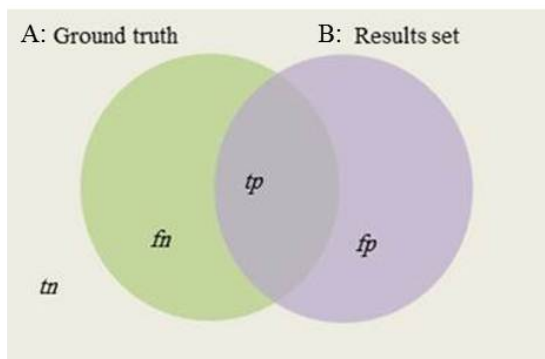
$k = 1, 2, \dots, n$

گام دوم: ماتریس داده‌های  $m_k$  مجددا بصورت  $X' = \{x'_1, x'_2, \dots, x'_n\}$  سازماندهی و برچسب گذاری شود؛ و داده‌ها به تعداد  $C$  گروه ( $1 < C < n$ ) تقسیم شود بطوریکه  $1-C$  امین گروه شامل  $n-C$  امین  $t$  داده از  $X'$  و  $C$  امین گروه شامل تمام داده‌های باقیمانده از  $X'$  باشند.

گام سوم: ماتریس فاصله‌ی اقلیدسی در هر گروه مشخص شود؛ اگر گروه  $i$  ام بصورت  $x^i = [x_1^i, x_2^i, \dots, x_N^i]$  تعریف شود. دراین صورت ماتریس فاصله‌ی  $d_{ij}$  بصورت  $[d_{ij}]_{N \times N}$  معرفی می‌شود و  $N$  تعداد عناصر گروه  $i$  ام است:

|         | $x_1^k$    | $x_2^k$    | ..... | $x_N^k$    |
|---------|------------|------------|-------|------------|
| $x_1^k$ | $d_{11}^k$ | $d_{12}^k$ |       | $d_{1N}^k$ |
| $x_2^k$ | $d_{21}^k$ | $d_{22}^k$ |       | $d_{2N}^k$ |
| .       | .          | .          | ..... | .          |
| $x_N^k$ | $d_{N1}^k$ | $d_{N2}^k$ | ..... | $d_{NN}^k$ |

نرديکي بيشتر به عدد يك در اين دو شاخص كيفيت بهتر ناحيهبندي را نشان مي دهد. A، مجموعه پيکسل هاي ناحيهبندي شده بافت هدف در تصوير استاندارد طلائي يا تصوير ناحيهبندي شده توسط متخصص نورولوژيست و B، مجموعه پيکسل هاي ناحيهبندي شده بافت هدف توسط الگوريتم است.



شكل ۱: همپوشانی بین استاندارد طلائي و نتایج الگوريتم.

علاوه بر اين برای بررسی دقیق‌تر درستی ناحيهبندي، دو مشخصه حساسیت (Sensitivity) و ویژگی TPF(true Specificity) نیز بکارمی‌روند. حساسیت را TNF(true negative fraction) و ویژگی را fraction نیز می‌نامند. اين دو مشخصه بصورت زیر تعریف می‌شوند [۱۵]:

$$Sensitivity = \frac{tp}{tp + fn}. \quad (۹)$$

$$Specificity = \frac{tn}{tn + fp}. \quad (۱۰)$$

$tp$  تعداد پيکسل هايی است که متعلق به کلاستر A هستند و درست ناحيهبندي شده‌اند.  $tn$  تعداد پيکسل هايی است که متعلق به کلاستر A نیستند و درست ناحيهبندي شده‌اند.  $fp$  تعداد پيکسل هايی است که متعلق به کلاستر A نیستند اما بصورت نادرست متعلق به کلاستر A در نظر گرفته شده‌اند و  $fn$  تعداد پيکسل هايی است که متعلق به کلاستر A هست اما به اشتباه جزئی از آن کلاستر ناحيهبندي نشده‌اند. بطور کلي می‌توان نتیجه

### ۳-نتایج شبیه سازی

#### ۱-۳-اعتبار سنجی روش

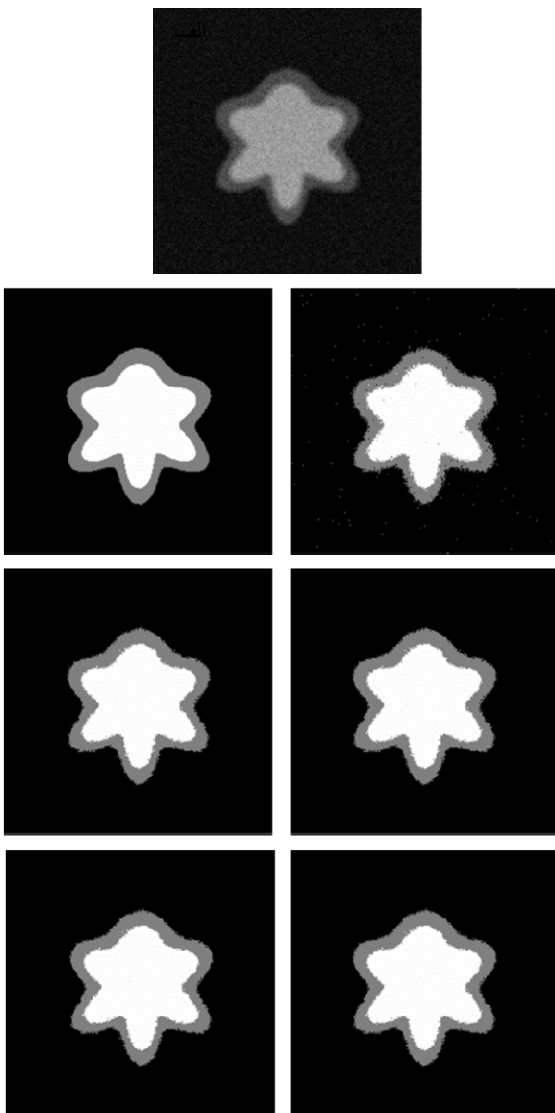
برای انجام تحقیق حاضر از از تصاویر متعدد گرفته شده از يك پایگاه داده معتبر، استفاده می‌شود. همچنین بمنظور ارزیابی صحیح عملکرد الگوريتم پیشنهادی تصاویر فاتوم شبیه‌سازی شده تشید مغناطیسی (SPMR) Simulated Phantom MR، تصاویر مغناطیسی شبیه‌سازی شده تشید مغناطیسی SBMR Simulated Brain MR و تصاویر واقعی RBMR Real Brain MR استفاده شده است. اين تصاویر، از نوع تصاویر بیتیوزن T1 و با وضوح  $256 \times 256$  هاست. تصاویر پایگاه داده از سایت IBSR Internet Brain Segmentation Repository آدرس <http://www.cma.mgh.harvard.edu/ibsr/index.html> دانلود شده است. هر اسالیس از تصاویر مغز دارای ضخامت ۳,۱ میلیمتر است. اين پایگاه داده شامل تصاویر استاندارد طلائي و تصاویر ناحيه بندي شده دستی توسط متخصص است.

همچنین برای ارزیابی ناحيهبندي توسط الگوريتم FCM پیشنهادی در اين مقاله از شاخص تشابه جاکارد Jaccard Similarity Index (JSI) استفاده شده است و نتایج حاصل شده بكمک الگوريتم FCM بهينه شده با نتایج ناحيهبندي توسط الگوريتم FCM مقایسه شده است. شاخص JSI بصورت زير تعریف می‌شود:

$$SI = \frac{|A \cap B|}{|A \cup B|}. \quad (۷)$$

علاوه بر شاخص تشابه جاکارد در متون علمی از ضریب تشابه دایس Dice Similarity (DSC) Coefficient نیز برای ارزیابی کیفیت ناحيهبندي استفاده می‌شود [۱۵]؛ ضریب تشابه DSC بصورت زير تعریف می‌شود [۱۴].

$$DSC = \frac{2 \times |A \cap B|}{|A| + |B|}. \quad (۸)$$



شکل ۲: الف- تصویر فانتوم MR، آگشته شده به نویز؛ ب- تصویر استاندارد طلایی؛ نتایج ناحیه بندی به کمک الگوریتم های ج-  $sFCM_{0,2}$ ، د-  $sFCM_{1,1}$ ، ه-  $sFCM_{1,2}$ ، و نتایج ناحیه بندی به کمک الگوریتم های  $gsFCM_{0,2}$ ،  $gsFCM_{1,1}$ ،  $gsFCM_{1,2}$ ؛

برای انجام پژوهش، مراحل شبیه سازی روی تصاویر فانتوم و تصاویر واقعی MR انجام شده است و در پایان نتایج حاصل از شبیه سازی بصورت کیفی و کمی مقایسه شده اند. شکل ۲-الف تصویر فانتوم MR با وزن T1 که از پایگاه داده ISBR دانلود شده را نشان می دهد؛ این شکل آگشته به نویز را نشان می دهد. تصویر استاندارد طلایی در شکل ۲-ب دیده می شود. نتایج ناحیه بندی به کمک الگوریتم های FCM استاندارد،  $sFCM_{1,1}$ ،  $sFCM_{0,2}$ ،  $gsFCM_{1,1}$ ،  $gsFCM_{1,2}$  در شکل های ۲-ج تا

گرفت که  $N$  تعداد پیکسل های تصویر است.

برای ارزیابی بهتر ناحیه بندی از درصد ناحیه بندی کمتر از حد، درصد ناحیه بندی بیش از حد و درصد نادرست ناحیه بندی نیز استفاده می شود؛ که در آن (Under Segmentation) UnS درصد پیکسل هایی را نشان می دهد که به اشتباه بعنوان کلاستر A در نظر گرفته شده اند؛ (Over Segmentation) OvS درصد پیکسل هایی از کلاستر A را نشان می دهد که به اشتباه جز آن در نظر گرفته نشده اند؛ (Incorrect Segmentation) InS درصد کلی پیکسل هایی را نشان می دهد که به اشتباه برای یک کلاستر ناحیه بندی شده اند [۱۶]:

$$UnS = \frac{fp}{n} \times 100. \quad (11)$$

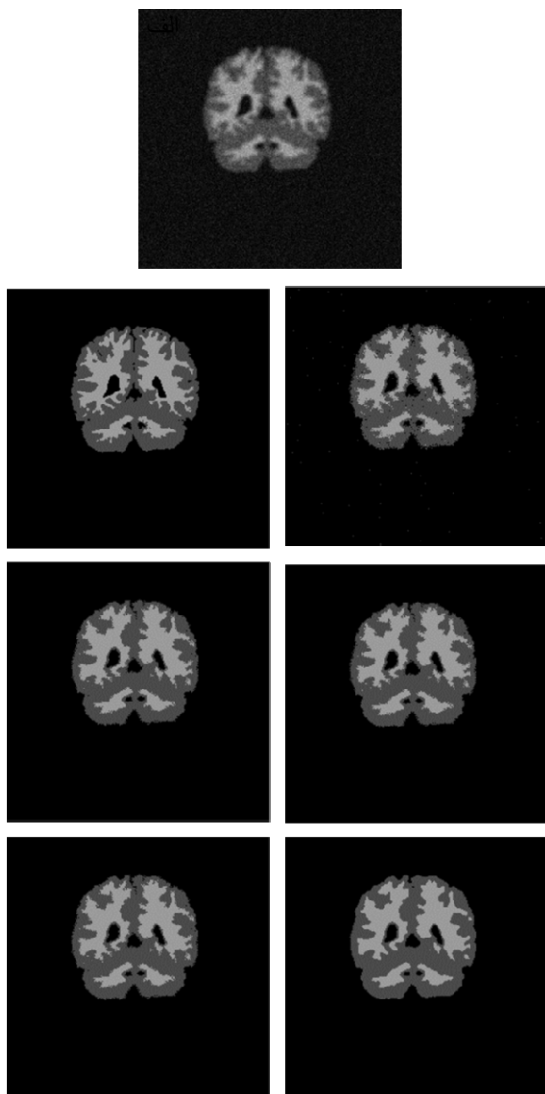
$$OvS = \frac{fn}{p} \times 100. \quad (12)$$

$$InS = \frac{fp + fn}{N} \times 100. \quad (13)$$

در این حالت  $n$  تمام پیکسل های متعلق به کلاستر A است ( $n=tp+fn$ ) و  $p$  تمام پیکسل های خارج از کلاستر A است ( $p=tn+fp$ ). بدین ترتیب  $N$  تمام پیکسل های متعلق به یک نصویر است ( $N=n+p$ ).

### ۲-۳-نتایج شبیه سازی

در این پژوهش الگوریتم FCM استاندارد و بهبود یافته ای آن FCM<sub>e</sub>، که اطلاعات مکانی را در تابع عضویت فازی ادغام می کند، شبیه سازی شده اند. از آنجایی که  $sFCM$  توکانی کمی در مدیریت مرزها، زوایا و ارگانیسم های کوچک دارد الگوریتم جدیدی به نام  $gsFCM$  پیشنهاد شد.



شکل ۳: **الف**- تصویر شبیه سازی شده‌ی MR مغز آغشته شده به نویز؛ **ب**- تصویر استاندارد طلایی؛ نتایج ناحیه بندي به کمک الگوريتم‌های  $g\text{FCM}_{1,1}$ ،  $s\text{FCM}_{1,1}$ ،  $g\text{FCM}_{0,2}$ ،  $s\text{FCM}_{0,2}$ ،  $g\text{FCM}_{0,2}$ ،  $s\text{FCM}_{0,2}$ ،  $g\text{FCM}_{1,1}$ ،  $s\text{FCM}_{1,1}$  و  $g\text{FCM}_{0,2}$ .

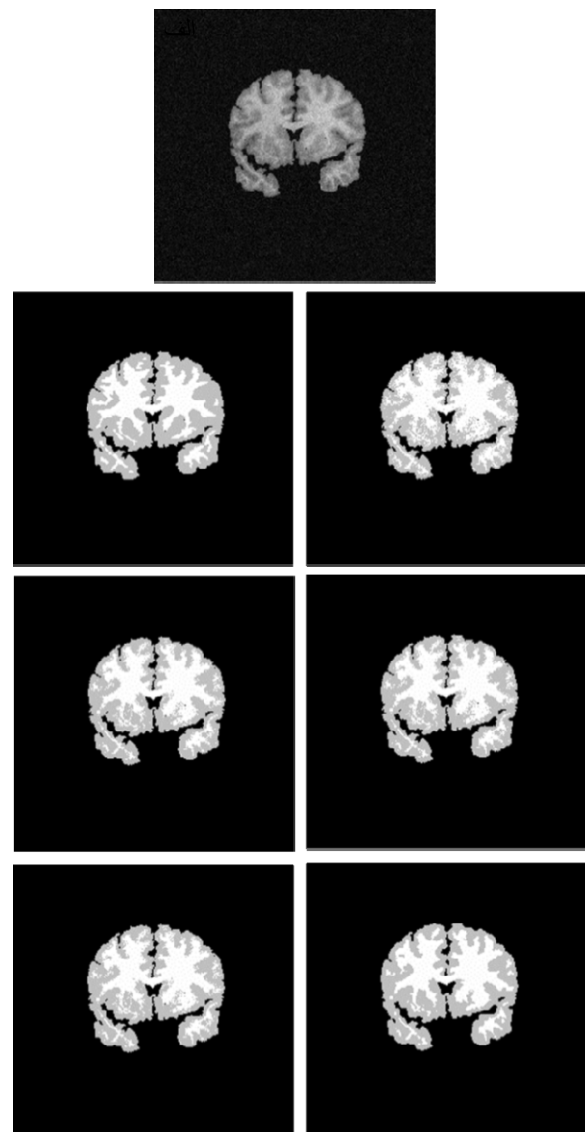
عملکرد الگوريتم پیشنهادی بر روی تصاویر واقعی MR انسان، نیز مورد بررسی قرار گرفت. شکل ۴-**الف** تصویر MR واقعی با وزن T1 را نشان می‌دهد که به نویز رایس آغشته شده است و شکل ۴-**ب**، تصویر ناحیه بندي شده توسط متخصص است. عملکرد الگوريتم  $g\text{FCM}_{1,1}$ ،  $s\text{FCM}_{1,1}$ ،  $g\text{FCM}_{0,2}$  و  $s\text{FCM}_{0,2}$  به ترتیب در شکل‌های ۴-**ج** تا ۴-**ز** قابل مشاهده است؛ تفاوت الگوريتم پیشنهادی و  $g\text{FCM}_{1,1}$

۲-ز به تصویر کشیده شده‌اند. الگوريتم  $g\text{FCM}_{1,1}$  نتایج قابل قبول‌تری را نسبت به  $s\text{FCM}_{1,1}$  به خصوص در مرز بافت‌ها ارایه کرده است؛ و الگوريتم  $g\text{FCM}_{0,2}$  نیز به همین صورت دارای عملکرد مناسب‌تری نسبت به  $s\text{FCM}_{0,2}$  در مرز بافت‌های تصویر است.

برای بررسی دقیق‌تر، در شکل ۳-**الف** تصویرشیوه سازی شده‌ی MR مغز با وزن T1 مورد بررسی قرار گرفت این تصاویر به نویز رایس آغشته شده است. تصویر ناحیه‌بندی شده‌ی MR مغز (استاندارد طلایی) در شکل ۳-**ب** دیده می‌شود. عملکرد الگوريتم‌های FCM استاندارد،  $s\text{FCM}_{1,1}$ ،  $g\text{FCM}_{1,1}$  و  $g\text{FCM}_{0,2}$  به ترتیب در شکل‌های ۳-**ج** تا ۳-**ز** دیده می‌شود. عملکرد مناسب  $g\text{FCM}$  نسبت به FCM در مرز بافت‌ها و زوایای تصویر در این شکل قابل مشاهده است. عملکرد تابع گوسی در مرزهای تصویر بگونه‌ای است که با اعمال ضرب‌اب نامساوی در تابع عضویت فازی با توجه به تفاوت فاصله‌ی پیکسل‌های همسایه از پیکسل مرکزی ناحیه‌بندی دقیق‌تری را ارایه می‌دهد. فاصله‌ی متفاوت پیکسل‌های همسایه از پیکسل مرکزی اثر پایدارتری در ناحیه‌بندی بهینه دارد. اثرگذاری متفاوت پیکسل‌های همسایه‌برای احتساب روشانی جدید پیکسل مرکزی، باعث می‌شود که تخمین دقیق‌تری از روشانی پیکسل مربوطه در اختیار باشد.

دهد. اگر لازم باشد با دقت بیشتری درستی ناحیه‌بندي بررسی شود، می‌توان نتایج TPF، TNF را بررسی کرد. در هر دو کمیت نزدیکتری بیشتر به عدد یک، کیفیت بهتر ناحیه‌بندي را نشان می‌دهد. همچنین درصد پیکسل-هایی از بافت هدف که به اشتباه ناحیه‌بندي شده است، درصد پیکسل‌هایی از بافت غیر هدف که به اشتباه بعنوان بافت هدف در نظر گرفته می‌شود (OvS) و درصد کل پیکسل‌هایی که بدرستی ناحیه‌بندي نشده‌اند (InS) در جدول ارایه شده است. نزدیکی بیشتر به عدد صفر در این سه کیمیت کیفیت بهتر ناحیه‌بندي را نشان می‌دهد. جدول ۲ و ۳ نتایج کمی آزمایش‌ها را بر روی تصاویر شبیه‌سازی شده MR و همچنین تصاویر واقعی نشان می‌دهند: این نتایج مربوط به قشر خاکستری MR مغز است. در تابع گوسی پیشنهاد شده برای ادغام اطلاعات مکانی میزان اثرگذاری تابع گوسی بستگی به میزان  $\sigma$  دارد. افزایش  $\sigma$  باعث نزدیک شدن ضرایب تابع گوسی در همسایگی یک پیکسل به هم می‌شود؛ در نتیجه با نزدیک شدن ضرایب همسایگی در الگوریتم پیشنهادی، gsFCM شباهت بیشتری به الگوریتم sFCM پیدا می‌کند. پیشنهاد می‌شود که  $\sigma$  در بازه  $0.5 < \sigma < 1.5$  در نظر گرفته شود تا نتایج مطلوب تری بدست آید. این بازه از روش آزمون و خطا انتخاب شده است؛ هرچند با افزایش نویز می‌توان مقدار  $\sigma$  را افزایش داد. جدول ۴ میزان اثر گذاری  $\sigma$  را به ازای مقادیر متفاوت آن در ناحیه‌بندي قشر خاکستری مغز بررسی می‌کند.

الگوریتم SFCM به لحاظ عملکردی به خصوص در مرز یافته‌ها قابل مشاهده است.



شکل ۴: الف- تصویر واقعی MR. مغز؛ ب- تصویر ناحیه بندی شده توسط متخصص؛ نتایج ناحیه بندی به کمک الگوریتم های ج-  
gsFCM<sub>0,2</sub>، د- gsFCM<sub>1,1</sub>، و- gsFCM<sub>1,2</sub> هـ- FCM<sub>1,1</sub>

برای ارزیابی کمی کیفیت ناحیه‌بندی روی تصاویر متعدد از توابع مختلفی استفاده شده است. جدول ۱ عملکرد الگوریتم پیشنهادی را در مقایسه با تکنیک‌های معرفی شده بر روی فانتوم MR نشان می‌دهد. بیشترین نزدیکی به عدد یک در شاخص تشابه جاکاردن JSI و ضریب تشابه دایس D ناحیه‌بندی بهتری را نشان می‌-

جدول ۱: ارزیابی روش پیشنهادی بر روی تصاویر فانتوم MR.

|        | تصویر فانتوم MR |                     |                     |                      |                      |
|--------|-----------------|---------------------|---------------------|----------------------|----------------------|
|        | FCM             | sFCM <sub>1,1</sub> | sFCM <sub>0,2</sub> | gsFCM <sub>1,1</sub> | gsFCM <sub>0,2</sub> |
| JSI    | ۰,۸۳۸۵          | ۰,۸۸۰۸              | ۰,۹۱۹۳              | ۰,۸۸۰۸               | ۰,۹۲۰۶               |
| D      | ۰,۹۱۲۱          | ۰,۹۹۳۶              | ۰,۹۵۸۰              | ۰,۹۳۶۶               | ۰,۹۵۸۶               |
| TPF    | ۰,۸۹۴۶          | ۰,۹۰۷۸              | ۰,۹۲۷               | ۰,۹۰۸۴               | ۰,۹۲۹۹               |
| TNF    | ۰,۹۹۴۴          | ۰,۹۹۷۴              | ۰,۹۹۹۳              | ۰,۹۹۷۴               | ۰,۹۹۹۱               |
| UnS(%) | ۰,۶۰۵           | ۰,۲۷۷۸              | ۰,۰۷۴               | ۰,۲۸۲                | ۰,۰۹۱                |
| OvS(%) | ۱۰,۵            | ۹,۲۱                | ۷,۳۰                | ۹,۱۵                 | ۷,۰۰                 |
| InS(%) | ۱,۴۲            | ۱,۰۱۹               | ۰,۶۷۴               | ۱,۰۱۹                | ۰,۶۶۵                |

جدول ۲: ارزیابی روش پیشنهادی بر روی تصاویر MR شبیه‌سازی شده.

|        | تصویر شبیه سازی شده MR مغز |                     |                     |                      |                      |
|--------|----------------------------|---------------------|---------------------|----------------------|----------------------|
|        | FCM                        | sFCM <sub>1,1</sub> | sFCM <sub>0,2</sub> | gsFCM <sub>1,1</sub> | gsFCM <sub>0,2</sub> |
| JSI    | ۰,۷۸۷۱                     | ۰,۸۱۸۸              | ۰,۸۲۰۴              | ۰,۸۱۹۲               | ۰,۸۳۲۷               |
| D      | ۰,۸۸۰۹                     | ۰,۹۰۰۳              | ۰,۹۰۱۳              | ۰,۹۰۰۶               | ۰,۹۰۸۷               |
| TPF    | ۰,۸۶۹۴                     | ۰,۸۹۹۴              | ۰,۸۹۹۹              | ۰,۸۹۷۸               | ۰,۹۰۸۸               |
| TNF    | ۰,۹۸۸۰                     | ۰,۹۸۸۷              | ۰,۹۸۸۸              | ۰,۹۸۹                | ۰,۹۸۹۵               |
| UnS(%) | ۱,۳۵                       | ۱,۲۷                | ۱,۲۵                | ۱,۲۴۲                | ۱,۱۸                 |
| OvS(%) | ۱۳,۰۵                      | ۱۰,۰۵               | ۱۰,۰۰               | ۱۰,۲۱                | ۹,۱۱                 |
| InS(%) | ۲,۶۹                       | ۲,۲۸                | ۲,۲۵                | ۲,۲۷                 | ۲,۰۹                 |

جدول ۳: ارزیابی روش پیشنهادی بر روی تصاویر MR واقعی مغز

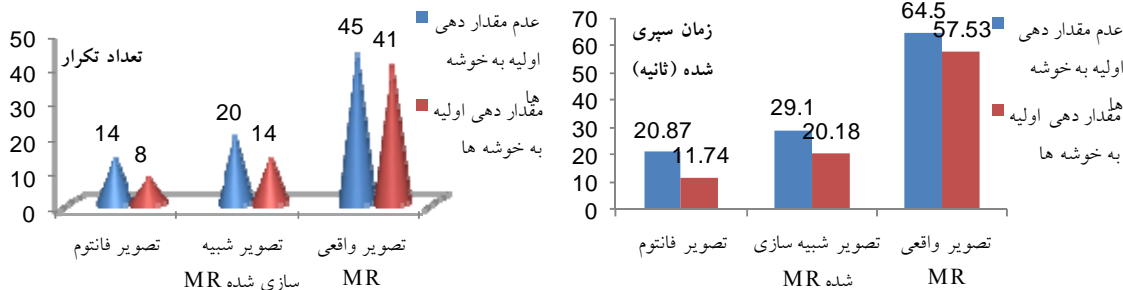
|        | تصویر واقعی MR مغز |                     |                     |                      |                      |
|--------|--------------------|---------------------|---------------------|----------------------|----------------------|
|        | FCM                | sFCM <sub>1,1</sub> | sFCM <sub>0,2</sub> | gsFCM <sub>1,1</sub> | gsFCM <sub>0,2</sub> |
| JSI    | ۰,۷۶۴۶             | ۰,۸۱۳۸              | ۰,۷۸۲۴              | ۰,۸۰۲۴               | ۰,۸۳۳۳               |
| D      | ۰,۸۶۶۶             | ۰,۸۹۷۳              | ۰,۸۷۷۹              | ۰,۸۹۰۴               | ۰,۹۰۹۰               |
| TPF    | ۰,۸۱۱۲             | ۰,۸۶۵۷              | ۰,۸۵۲۲              | ۰,۸۸۸۹               | ۰,۸۸۱۱               |
| TNF    | ۰,۹۹۳۷             | ۰,۹۹۳۴              | ۰,۹۹۰۸              | ۰,۹۹۳۷               | ۰,۹۹۴۰               |
| UnS(%) | ۰,۶۹۹۰             | ۰,۷۳۱۳              | ۱,۰۲                | ۰,۶۹۳۹               | ۰,۶۵۸                |
| OvS(%) | ۱۸,۸۷              | ۱۳,۴۲               | ۱۴,۷۷               | ۱۴,۸۹                | ۱۱,۸۸                |
| InS(%) | ۲,۵۶               | ۲,۰۳۷               | ۲,۴۳                | ۲,۱۵                 | ۱,۸۱                 |

جدول ۴: بررسی تاثیر مقادیر متفاوت  $\sigma$  در الگوریتم gsFCM<sub>0,2</sub> برای ناحیه‌بندی تصاویر واقعی MR

|        | $\sigma=0.3$ | $\sigma=0.5$ | $\sigma=0.8$ | $\sigma=1$ | $\sigma=1.5$ | $\sigma=2.5$ |
|--------|--------------|--------------|--------------|------------|--------------|--------------|
| JSI    | ۰,۷۷۲۰       | ۰,۸۰۳۰       | ۰,۸۳۳۳       | ۰,۸۲۸۱     | ۰,۸۰۵۹       | ۰,۷۹۲۱       |
| D      | ۰,۸۷۱۳       | ۰,۸۹۰۷       | ۰,۹۰۹۰       | ۰,۹۰۶      | ۰,۸۹۲۵       | ۰,۸۸۴        |
| TPF    | ۰,۸۲۰۰       | ۰,۸۵۱۱       | ۰,۸۸۱۱       | ۰,۸۷۸۷     | ۰,۸۶۶۹       | ۰,۸۵۸۷       |
| TNF    | ۰,۹۹۳۶       | ۰,۹۹۳۸       | ۰,۹۹۴۰       | ۰,۹۹۳۷     | ۰,۹۹۲۲       | ۰,۹۹۱۳       |
| UnS(%) | ۰,۷۱۲۶       | ۰,۶۸۷۱       | ۰,۶۵۸        | ۰,۷۰۰۷     | ۰,۸۶۷        | ۰,۹۶۴۳       |
| OvS(%) | ۱۷,۹۹        | ۱۴,۸۸        | ۱۱,۸۸        | ۱۲,۱۲      | ۱۳,۳۰        | ۱۴,۱۲        |
| InS(%) | ۲,۴۹         | ۲,۱۴         | ۱,۸۱         | ۱,۸۷       | ۲,۱۴         | ۲,۳۱         |

داده شده‌اند. در این شکل تاثیر استفاده یا عدم استفاده از الگوریتم dist-max در زمان اجرا و نیز تعداد تکرارهای gsFCM بر روی تصاویر مختلف قابل مشاهده است.

زمان مورد نیاز برای اجرا یالگوریتم gsFCM، به مرکز ثقل اولیه خوشها بستگی زیادی دارد. در شکل-۷ زمان اجرا و تعداد دفعات تکرار الگوریتم gsFCM نشان



شکل ۵: زمان سپری شده و تعداد تکرارها توسط gsFCM در صورت استفاده یا عدم استفاده از الگوریتم dist-max بر روی تصاویر مختلف.

خوشها محاسبه شد؛ در نتیجه زمان همگرایی و تعداد تکرارهای gsFCM کاهش یافت.

#### مراجع

- [1] K. Chuang, H. Tzeng, S. Chen, J. Wu, and T. Chen, "Fuzzy c-means clustering with spatial information for image segmentation," *Computerized Medical Imaging and Graphics*, vol. 30, pp. 9-15, 2006.
- [2] P. K. Sahoo, S. Soltani, and A. Wong, "A survey of thresholding techniques," *Computer vision, graphics, and image processing*, vol. 41, pp. 233-260, 1988.
- [3] R. M. Haralick and L. G. Shapiro, "Image segmentation techniques," *Computer vision, graphics, and image processing*, vol. 29, pp. 100-132, 1985.
- [4] I. I. T. MODEL, "Unsupervised Texture Segmentation Using Markov Random Field Models".
- [5] L. Lin, D. Garcia-Lorenzo, C. Li, T. Jiang, and C. Barillot, "Adaptive pixon represented segmentation (APRS) for 3D MR brain images based on mean shift and Markov random fields," *Pattern Recognition Letters*, vol. 32, pp. 1036-1043, 2011.
- [6] W. Cai, S. Chen, and D. Zhang, "Fast and robust fuzzy c-means clustering algorithms incorporating local information for image segmentation," *Pattern Recognition*, vol. 40, pp. 825-8, 2007, 38.
- [7] W. Cai, S. Chen, and D. Zhang, "Fast and robust fuzzy c-means clustering algorithms incorporating local information for image segmentation," *Pattern Recognition*, vol. 40, pp. 825-838, 2007.

#### ۴-نتیجه گیری

خوشبندی فازیکی از روش‌های بدون سرپرست است که استفاده‌ی فراوانی در ناحیه‌بندی تصاویر MR غیر انسان داشته است. این نوع تصاویر در حوزه‌ی مکان بهم پیوستگی بالایی دارند، اما اطلاعات مکانی آنها در تابع FCM استاندارد مورد استفاده قرار نگرفته است. بنابراین حضور نویز و سایر عوامل مزاحم تا حد زیادی ناحیه‌بندی را مختل می‌کند. در این مقاله اطلاعات مکانی در دو فاز متفاوت به تابع FCM استاندارد اعمال شد. این اطلاعات در فاز نخست بصورت تابع مکانی خطی sFCM روی عضویت فازی دخالت داده شد و تابع معرفی گردید؛ و در فاز دوم اطلاعات مکانی با استفاده از تابع گوسی بر رویک همسایگی از عضویت فاری اعمال شد. عملکرد مطلوب الگوریتم gsFCM پیشنهادی در مزها و زوایای تصاویر واقعی و شبیه‌سازی شده MR، که از پایگاه داده ISBR جمع آوری شد، مورد بحث و بررسی قرار گرفت و نتایج کمی شبیه سازی با استفاده از تکنیک‌های معرفی شده در قالب جدول و نمودار ارائه شد. همچنین پس از معرفی FCM مکانی گوسیا gsFCM، با استفاده از الگوریتمی مرکز ثقل اولیه

- brain MRI," *Journal of Computational and Applied Mathematics*, vol. 235, pp. 1578-1586, 2011.
- [23] A. Demirhan and İ. Güler, "Combining stationary wavelet transform and self-organizing maps for brain MR image segmentation," *Engineering Applications of Artificial Intelligence*, vol. 24, pp. 358-367, 2011.
- [24] P. Anbeek, K. L. Vincken, G. S. van Bochove, M. J. P. van Osch, and J. van der Grond, "Probabilistic segmentation of braintissue in MR imaging," *NeuroImage*, vol. 27, pp. 795-804, 2005.
- [25] M. Forouzanfar, N. Forghani, and M. Teshnehlab, "Parameter optimization of improved fuzzy c-means clustering algorithm for brain MR image segmentation," *Engineering Applications of Artificial Intelligence*, vol. 23, pp. 160-168, 2010.
- [8] H. Van Lung and J.-M. Kim, "A generalized spatial fuzzy c-means algorithm for medical image segmentation," in *Fuzzy Systems, 2009. FUZZ-IEEE 2009. IEEE International Conference on*, 2009, pp. 409-414.
- [9] R. Venkateswaran and S. Muthukumar, "Genetic Approach on Medical Image Segmentation by Generalized Spatial Fuzzy C-Means Algorithm," in *2010 IEEE International Conference on Computational Intelligence and Computing Research*, pp. 210-213.
- [10] K. Chuang, H. Tzeng, S. Chen, J. Wu, and T. Chen, "Fuzzy c-means clustering with spatial information for image segmentation," *Computerized Medical Imaging and Graphics*, vol. 30, pp. 9-15, 2006.
- [11] P. K. Sahoo, S. Soltani, and A. Wong, "A survey of thresholding techniques," *Computer vision, graphics, and image processing*, vol. 41, pp. 233-260, 1988.
- [12] R. M. Haralick and L. G. Shapiro, "Image segmentation techniques," *Computer vision, graphics, and image processing*, vol. 29, pp. 100-132, 1985.
- [13] I. I. T. MODEL, "Unsupervised Texture Segmentation Using Markov Random Field Models".
- [14] L. Lin, D. Garcia-Lorenzo, C. Li, T. Jiang, and C. Barillot, "Adaptive pixon represented segmentation (APRS) for 3D MR brain images based on mean shift and Markov random fields," *Pattern Recognition Letters*, vol. 32, pp. 1036-1043, 2011.
- [15] W. Cai, S. Chen, and D. Zhang, "Fast and robust fuzzy c-means clustering algorithms incorporating local information for image segmentation," *Pattern Recognition*, vol. 40, pp. 825-838, 2007.
- [16] W. Cai, S. Chen, and D. Zhang, "Fast and robust fuzzy c-means clustering algorithms incorporating local information for image segmentation," *Pattern Recognition*, vol. 40, pp. 825-838, 2007.
- [17] H. Van Lung and J.-M. Kim, "A generalized spatial fuzzy c-means algorithm for medical image segmentation," in *Fuzzy Systems, 2009. FUZZ-IEEE 2009. IEEE International Conference on*, 2009, pp. 409-414.
- [18] R. Venkateswaran and S. Muthukumar, "Genetic Approach on Medical Image Segmentation by Generalized Spatial Fuzzy C-Means Algorithm," in *2010 IEEE International Conference on Computational Intelligence and Computing Research*, pp. 210-213.
- [19] R. B. Dubey, M. Hanmandlu, S. K. Gupta, and S. K. Gupta, "The Brain MR Image Segmentation Techniquesand use of Diagnostic Packages," *Academic Radiology*, vol. 17, pp. 658-671, 2010.
- [20] Z.-X. Ji, Q.-S. Sun, and D.-S. Xia, "A modified possibilistic fuzzy c-means clustering algorithm for bias field estimation and segmentation of brain MR image," *Computerized Medical Imaging and Graphics*, vol. 35, pp. 383-397, 2011.
- [21] D. L. Pham, "Spatial models for fuzzy clustering." *Computer Vision and Image Understanding*, vol. 84, pp. 285-297, 2001.
- [22] S. Ramathilagam, R. Pandiyarajan, A. Sathy, R. Devi, and S. R .Kannan, "Modified fuzzy c-means algorithm for segmentation of T1-T2-weighted